

Г. И. АБРАМОВ
(Тольятти)

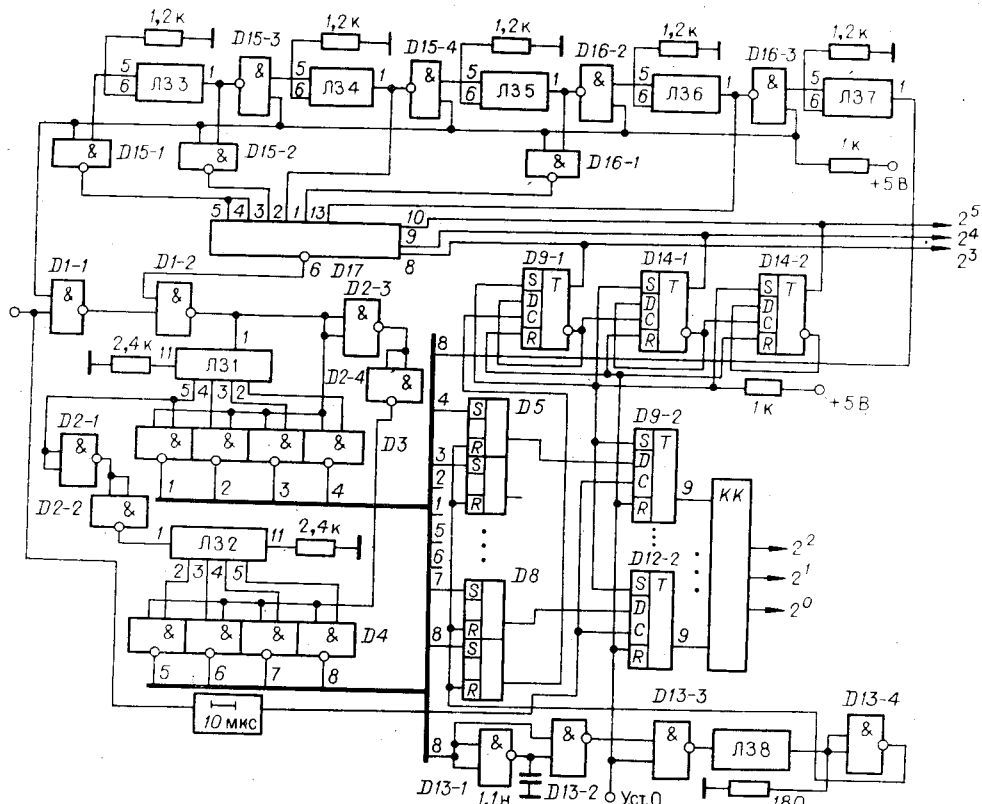
**ПРЕОБРАЗОВАТЕЛЬ ДЛЯТИЛЬНОСТИ ОДИНОЧНЫХ ИМПУЛЬСОВ
РЕЦИРКУЛЯЦИОННОГО ТИПА**

В настоящее время при преобразовании длительности одиночных импульсов в код широкое распространение находят преобразователи рециркуляционного типа [1, 2], обладающие простой аппаратурной реализацией. Однако преобразователи, выполненные на основе указанного способа, имеют низкое быстродействие.

В [3] предложен преобразователь, в котором повышение быстродействия достигается за счет введения набора дополнительных элементов задержки. Время задержки этих элементов определяется как $\Delta t_n = n t_3$, где $n = 1, 2, 3, \dots$, n — порядковый номер и одновременно вес дополнительных элементов задержки; t_3 — дискретность преобразования. При этом время задержки основного элемента $\Delta t_{n+1} = = (\eta + 1) t_3$, а время преобразования $T = 2^{SCT} t_{\text{ц}} + \Delta t_{n+1}$ (SCT — число разрядов счетчика (CT); $t_{\text{ц}}$ — период циркуляции преобразуемого сигнала по контуру циркуляции).

В ходе макетирования и отладки преобразователя [3] автором был предложен способ дальнейшего повышения быстродействия. Этот способ заключается в том, что одновременно с уменьшением длительности преобразуемого импульса на образцовую величину в каждой из циркуляций происходит и уменьшение периода циркуляции на эту же образцовую величину.

На рисунке приведена принципиальная схема преобразователя длительности одиночных импульсов рециркуляционного типа, в котором реализован рассмотренный способ. Преобразователь содержит схемы совпадения ($D2 - D4$); фиксирующие триггеры ($D5 - D8$); регистр памяти ($D9-1 - D12-2$); счетчик импульсов ($D9-1 - D14$); кодирующий каскад (KK); устройство управления ($D13 - D38$); устройство задержки на 10 мкс; контур циркуляции ($D1, D4 - 4, L37 - L33, D15 - D17$). Основной элемент задержки и набор дополнительных элементов задержки выполнены на многоходовой линии задержки, представляющей собой последовательное соединение



Преобразователь длительности одиночных импульсов рециркуляционного типа:
 $D1 - D8, D13 - D16 - 130$ ЛАЗ; $D7 - 155\text{КПБ}$; $L31, L32 - L3T - 0,5 - 2400$; $L33 - L37 - L3T - 0,5 - 1200$; $L38 - ВЛМ - 2 - 180 - 85 - 20$.

β	$\Delta t_{x\beta}$, мкс	$t_{\Pi\beta}$, мкс
1	2,06	2,64
2	1,52	2,2
3	1,08	1,76
4	0,64	1,32
5	0,2	0,88

ние Л31, Л32 и элементов D2—1—D2—2. При этом основной элемент задержки собран на Л31 и Л32, а набор дополнительных элементов задержки — на Л31 и трех отводах Л32.

Преобразователь работает следующим образом. Импульсный сигнал, длительность t_x которого подлежит преобразованию, поступает через элементы D1—1 и D1—2 в контур циркуляции. Одновременно с выхода элемента D1—2 импульс t_x подается на вход многоотводной линии задержки, с восьми отводов которой снимаются импульсы, задержанные относительно друг друга на время t_3 . На элементе D2 выполнен усилитель-формирователь импульсов с достаточно короткими фронтами. На выходах схем совпадения D3—D4 выделяются импульсы длительностью соответственно $\Delta t_{3-1} = t_x - t_3$; $\Delta t_{3-2} = t_x - 2t_3; \dots; \Delta t_{4-4} = \Delta t_{x_1} = t_x - 8t_3$, которые фиксируются по задним фронтам фиксирующими триггерами D5—D8, выполненными на элементах 130ЛАЗ. Вырабатываемый на выходе контура циркуляции импульс длительностью Δt_{x_1} регистрируется в счетчике импульсов и одновременно подается на вход линии задержки Л37. Линии задержки Л37—Л33 и элементы D15, D16 образуют пятиотводный элемент задержки с шагом задержки, равным 0,44 мкс при полном времени задержки $t_0 = 2,2$ мкс. Счетчик импульсов управляет работой селектора-мультиплексора D17, который соединяет соответствующий отвод элемента задержки через элемент D1—2 с контуром циркуляции. Например, после первой циркуляции в счетчике импульсов зафиксируется число, равное единице, которое посредством селектора-мультиплексора соединяет пятый отвод элемента задержки (выход элемента D15—1) с контуром циркуляции. Поэтому импульс длительностью Δt_{x_1} задерживается в контуре циркуляции на время $t_{\Pi_1} = 2,64$ мкс. После второй циркуляции импульс длительностью $\Delta t_{x_2} = t_x - 16t_3$ задерживается в контуре циркуляции уже на время $t_{\Pi_2} = 2,2$ мкс.

В общем случае длительность импульсов на выходе контура циркуляции описывается выражением $\Delta t_{x\beta} = t_x - (\eta + 1)\beta t_3$, где порядковый номер циркуляции $\beta = 1, 2, 3, \dots, m$. Одновременно период циркуляции имеет вид $t_{\Pi\beta} = t_{\Pi_0} - (\eta + 1)\beta t_3$, где $t_{\Pi_0} = t_0 + (\eta + 1)t_3$, t_0 — полное время задержки многоотводного элемента задержки, причем необходимо выполнение условия $t_0 > t_{x\max} - (\eta + 1)t_3$; $t_{x\max}$ — наибольшее значение длительности преобразуемого сигнала. В таблице для наглядности приводятся значения $\Delta t_{x\beta}$ и $t_{\Pi\beta}$ при $t_{x\max} = 2,5$ мкс и $t_{\Pi_0} = 2,64$ мкс.

Устройство управления (D13, Л38) из заднего фронта импульсов $\Delta t_{x\beta}$ формирует импульс длительностью 0,1 мкс, задержанный на время 0,1 мкс. Этим импульсом фиксирующие триггеры D5—D8 устанавливаются в нуль.

При $\Delta t_{x\beta} < 8t_3$ процесс циркуляции прекращается. Устройство управления не вырабатывает сигнал для обнуления фиксирующих триггеров. В результате в них остается зафиксированное число $N_{\text{фт}}$, которое, будучи сложенным с числом, зарегистрированным в счетчике импульсов, дает цифровой результат преобразования, т. е. $t_x = N_{\text{фт}} + N_{\text{ст}}$.

Регистр памяти D9—2—D12—2, выполненный на D-триггерах, осуществляет операцию хранения с запелкой [4]. Запись числа в регистр памяти происходит при поступлении импульса считывания на C-выходы триггеров D9—2—D12—2 от устройства задержки, осуществляющего формирование импульса длительностью 0,1 мкс и задержанного относительно переднего фронта импульса t_x на время 10 мкс. При этом время преобразования определяется как

$$T_{\text{пр}} = \Delta t_{n+1} + t_{\Pi_1} + t_{\Pi_2} + \dots + t_{\Pi_5} = (\eta + 1)t_3 + \sum_{\beta=1}^5 t_{\Pi\beta}.$$

При произвольном числе циркуляций это выражение принимает вид

$$T_{\text{пр}_{\text{об}}} = (\eta + 1)t_3 + \sum_{\beta=1}^m t_{\Pi\beta} = (\eta + 1)t_3 + m \left[t_{\Pi_0} - \frac{m-1}{2}(\eta + 1)t_3 \right]. \quad (1)$$

Кодирующий каскад, выполненный на микросхемах серии 155, осуществляет операцию преобразования параллельного единичного кода на выходе регистра памяти в параллельный позиционный двоичный код. Сигнал «Установка 0» посредством обнуления счетчика импульсов и регистра памяти производит установку в пуль преобразователя перед началом преобразования. Цифровой результат преобразования снимается с выходов счетчика импульсов (старшие разряды) и с выходов кодирующего каскада (младшие разряды).

Изготовленный преобразователь имеет следующие характеристики: длительность преобразуемых сигналов (импульсов) $t_x = (0,08-2,5)$ мкс; число разрядов выходного кода 6; дискретность преобразования 55 нс; время преобразования 10 мкс; абсолютная погрешность $\leq 0,01 t_x$.

Систематическая погрешность, обусловленная наличием разрешающей способности используемых элементов $D1, D3-D8$, составляет 20 нс.

Преобразователь выполнен на трех платах печатного и объемного монтажа. На первой плате размером 70×100 мм² размещены линии задержки (Л31, Л32 и элемент $D2$); на второй плате размером 80×100 мм² — линии задержки Л33—Л37; на третьей плате размером 110×130 мм² — цифровая часть преобразователя.

При отключении выхода селектора-мультиплексора от входа контура циркуляции и подключении пятого отвода пятиточкового элемента задержки непосредственно на вход контура циркуляции время преобразования возрастает и описывается выражением

$$T = (\eta + 1) t_3 + m t_{\Pi_0}. \quad (2)$$

Из сравнения выражений (1) и (2) определяем выигрыш во времени преобразования предложенного способа:

$$k = \frac{T}{T_{\text{проб}}} = \frac{(\eta + 1) t_3 + m t_{\Pi_0}}{(\eta + 1) t_3 + m \left[t_{\Pi_0} - \frac{m-1}{2} (\eta + 1) t_3 \right]}.$$

Так как $m t_{\Pi_0} \gg (\eta + 1) t_3$ и $m \left[t_{\Pi_0} - \frac{m-1}{2} (\eta + 1) t_3 \right] \gg (\eta + 1) t_3$, то $k \approx t_{\Pi_0} / \left[t_{\Pi_0} - \frac{m-1}{2} (\eta + 1) t_3 \right]$.

В нашем случае $k \approx 1,5$, следовательно, время преобразования уменьшается в 1,5 раза.

ЛИТЕРАТУРА

1. А. с. 708293 (СССР). Измеритель длительности временных интервалов/Н. Р. Карпов и др.— ОИПОТЗ, 1980, № 1.
2. Карпов Н. Р. Рециркуляционный измерительный преобразователь коротких временных интервалов в код.— ПТЭ, 1980, № 2, с. 101.
3. А. с. 954918 (СССР). Измеритель длительности временных интервалов/Г. Н. Абрамов.— ОИПОТЗ, 1982, № 32.
4. Аналогово-цифровые преобразователи/Под ред. Г. Ф. Бахтиарова.— М.: Сов. радио, 1980.

Поступило в редакцию 12 ноября 1984 г.

УДК 681.335

В. П. ДОРОШЕВ, В. Е. ЯМНЫЙ
(Минск)

ЧАСТОТНЫЙ ДИАПАЗОН ФУНКЦИОНАЛЬНЫХ АНАЛОГО-ЦИФРОВЫХ ПРЕОБРАЗОВАТЕЛЕЙ

Как известно [1, 2], для расширения динамического диапазона (ДД) входных сигналов аналого-цифровых преобразователей (АЦП) используется аналоговое компрессирование уровней измеряемых сигналов X до значений Y . Однако процесс компрессирования сопряжен, как правило, с увеличением полосы занимаемых сигналом частот, что приводит к появлению динамической погрешности за счет ограничения спектра узлами преобразователя, следующими за компрессором и, прежде всего, дискретизатором. Это обстоятельство в конечном итоге приводит к сужению частотного диапазона (ЧД) входных сигналов широкодиапазонных функциональных АЦП. До настоящего времени отсутствует анализ ЧД и величины допустимых динамических искажений этого вида для различных функций компрессирования, которые, как известно, полностью определяют закон изменения уровней квантования (шкалу) АЦП.

Цель работы — получение связи достижимого ЧД с заданной динамической погрешностью преобразования гармонического сигнала K_d для наиболее распространенных на практике компрессоров функциональных АЦП: линейно-логарифмического, смешенно-логарифмического, дробно-степенного (рис. 1, а, кривые 1—3 соответственно), квазilogарифмического (рис. 1, б, кривая 4), а также сверточных: первого порядка — выпрямительного (рис. 1, а, кривая 5) и третьего порядка (рис. 1, б, кривая 6).